

ERRATA CORRIGE

INFORMATORE BOTANICO ITALIANO 33(1), 2001

L'Informatore Botanico Italiano 33(1), 2001, pubblicato in Luglio e distribuito in Ottobre, presenta un certo numero di figure alterate a causa di un banale, ma comunque grave, errore di lavorazione. Nonostante infatti che il materiale inviato in Tipografia fosse stato preparato dalla Redazione con le stesse modalità degli altri fascicoli, in sede di stampa è stata erroneamente attivata la "separazione dei colori in quadricromia", che ha tolto il colore e tutte le gradazioni

di grigio, con il risultato che in tutte le figure sono stampati solo il bianco e il nero. Per riparare in parte a tale increscioso inconveniente, si è ritenuto opportuno inserire in questo numero l'"Errata Corrige" con la versione corretta delle figure che hanno subito danni maggiori.

LA REDAZIONE

R. BENESPERI - "Alcuni licheni nuovi o rari in Toscana ed Emilia Romagna (Italia centro-settentrionale)", pagg. 3 e 4

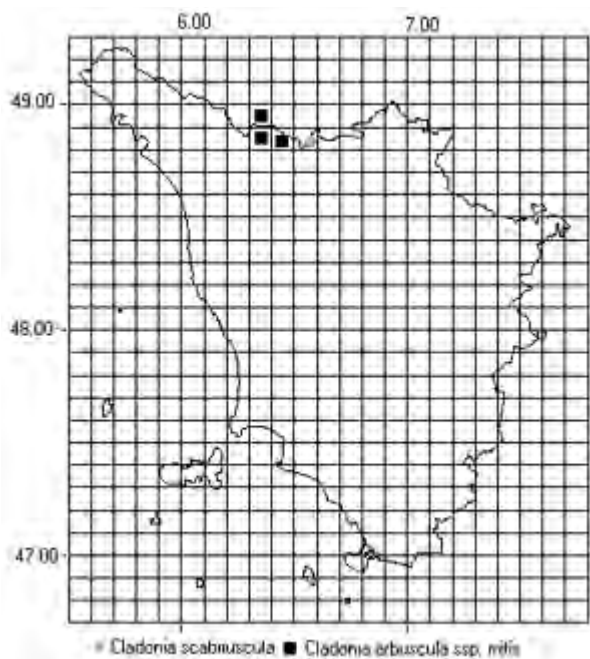


Fig. 1  
Distribuzione di *Cladonia scabriuscula* (Delise) Nyl. e *Cladonia arbuscula* subsp. *mitis* (Sandst.) Ruoss in Toscana. Per *C. arbuscula* subsp. *mitis* è indicata anche la stazione emiliana. Distribution of *Cladonia scabriuscula* (Delise) Nyl. and *Cladonia arbuscula* subsp. *mitis* (Sandst.) Ruoss in Tuscany. The record of *Cladonia arbuscula* subsp. *mitis* in Emilia is also indicated.

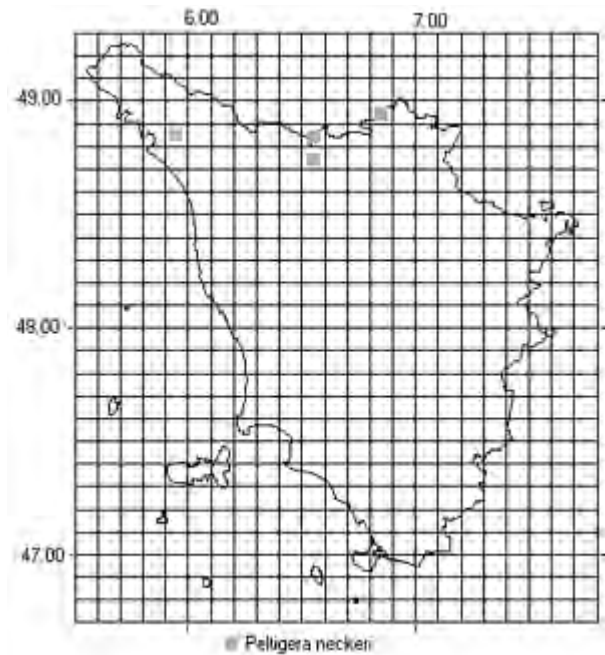


Fig. 3  
Distribuzione di *Peltigera neckeri* [(Hepp.) ex] Müll. Arg. in Toscana. Distribution range of *Peltigera neckeri* [(Hepp.) ex] Müll. Arg. in Tuscany.

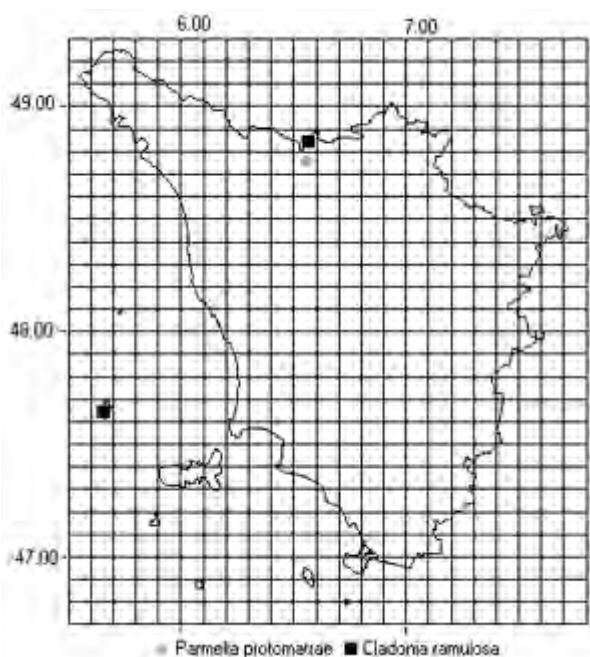
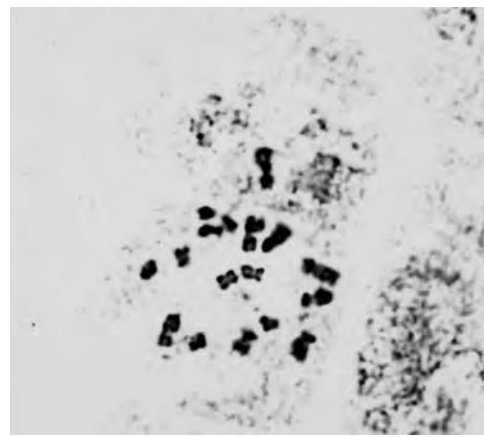
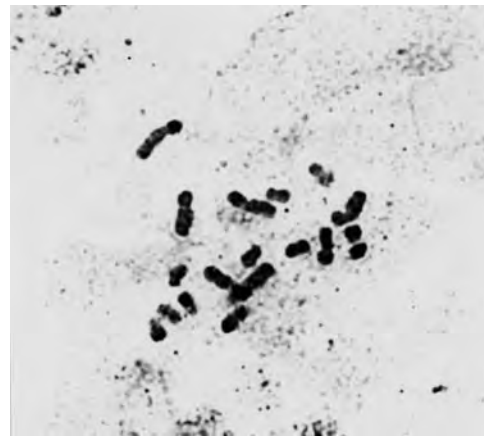
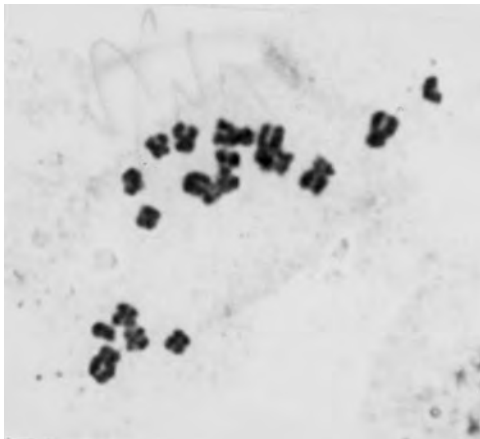
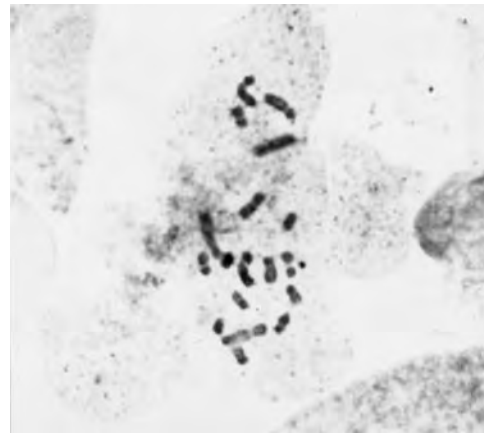
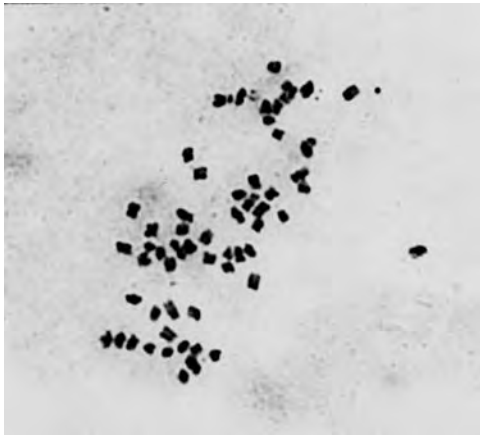


Fig. 2  
Distribuzione di *Parmelia protomatrae* Gyeln. e *Cladonia ramulosa* (With.) Laundon in Toscana. Distribution of *Parmelia protomatrae* Gyeln. e *Cladonia ramulosa* (With.) Laundon in Tuscany.

M. RIZZOTTO - *Numeri Cromosomici per la Flora Italiana (1409-1414)*, pag. 28.



- Fig. 1 - *Scrophularia trifoliata* L.,  $2n = 58$  (x 1500).  
 Fig. 2 - *Limonium gorgonae* Pignatti,  $2n = 18$  (x 1500).  
 Fig. 3 - *Limonium ilvae* Pignatti,  $2n = 18$  (x 2400).  
 Fig. 4 - *Limonium planesiae* Pignatti,  $2n = 18$  (x 1500).  
 Fig. 5 - *Limonium sommierianum* (Fiori) Arrigoni,  $2n = 18$  (x 1500).  
 Fig. 6 - *Limonium montis-christi* Rizzotto,  $2n = 18$  (x 1500).

M. DURANTE *et al.*, - "Analisi delle proteine di riserva estratte da semi antichi peruviani", in *Atti "Ricerca botanica italiana negli ambienti tropicali"*, pagg. 57 e 58.

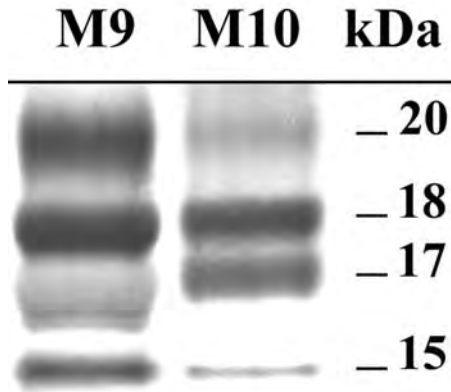


Fig. 1  
Elettroforesi in condizioni denaturanti (SDS-PAGE) della frazione zeinica delle proteine di riserva di semi di *Zea mays* (campione M9, moderno; campione M10, antico). A destra sono riportati i pesi molecolari in kiloDalton (kDa).  
Electrophoresis in denaturing conditions (SDS-PAGE) of zein storage proteins from *Zea mays* seeds (sample M9, modern; sample M10, ancient). On the right side are reported the molecular weights in kiloDaltons (kDa).

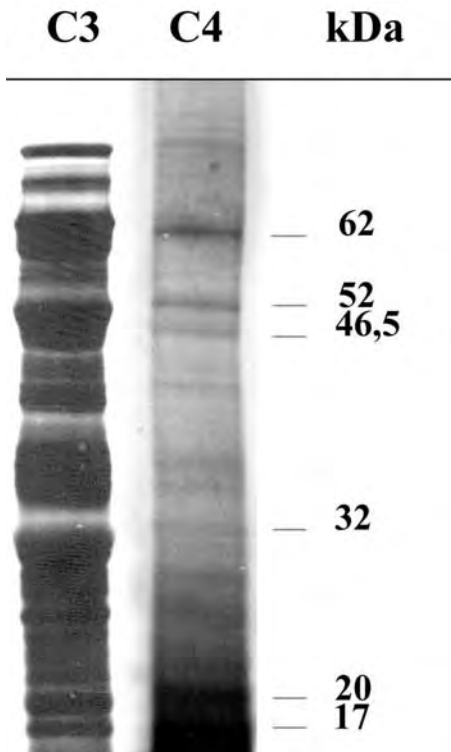


Fig. 2  
Elettroforesi in condizioni denaturanti (SDS-PAGE) della frazione globulinica delle proteine di riserva di semi di *Canavalia* sp. (campione C3, moderno; campione C4, antico). A destra sono riportati i pesi molecolari in kiloDalton (kDa).  
Electrophoresis in denaturing conditions (SDS-PAGE) of globulin storage proteins from *Canavalia* spp. seeds (sample C3, modern; sample C4, ancient). On the right side are reported the molecular weights in kiloDaltons (kDa).

M.R. CAGIOTTI *et al.*, - "*Cymbopogon citratus* (DC.) Stapf.: caratterizzazione biologica", in *Atti "Ricerca botanica italiana negli ambienti tropicali"*, pagg. 70 e 71.

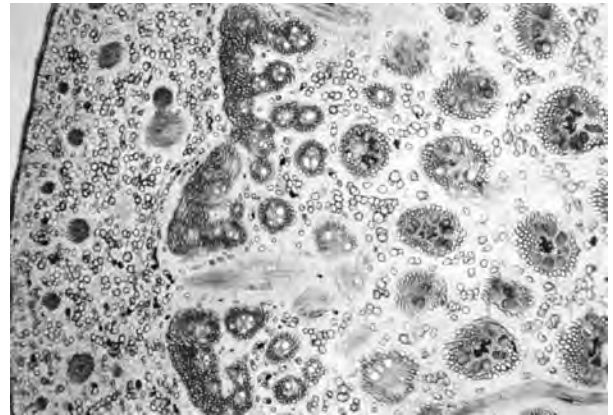


Fig. 7  
Sezione trasversale di rizoma di *Cymbopogon citratus* (DC.) Stapf. Parenchima di riserva e fasci concentrici, dall'esterno all'interno (x 10).  
Cross-section of the rhizome of *Cymbopogon citratus* (DC.) Stapf. Reserve parenchyma and concentric bands (from outside to inside) (x 10).

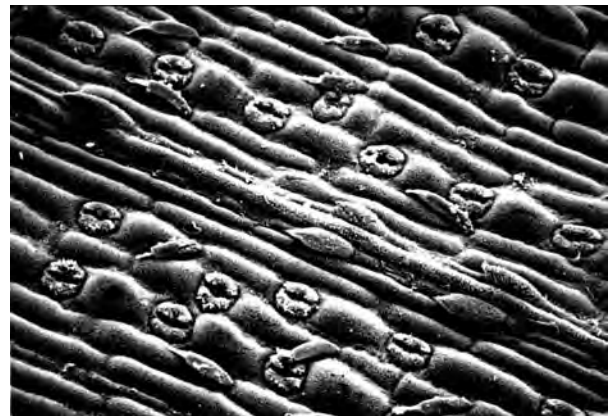


Fig. 8  
Distribuzione tricomatosa e stomi sulla pagina superiore di *Cymbopogon citratus* (DC.) Stapf.  
Distribution of trichomes and stomata on the upper face of the *Cymbopogon citratus* (DC.) Stapf.

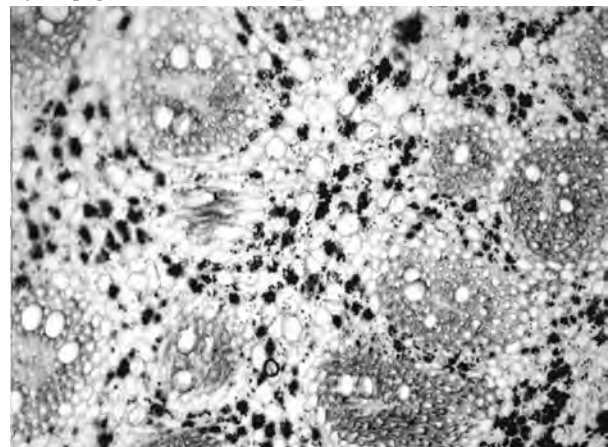


Fig. 9  
Parenchima di riserva di tipo amilifero con concentrazione di granuli di amido, piccoli e sferoidali, di colore violetto intenso (x 23).  
Reserve parenchyma (starchy-type) with starch grain, little and spheroidal, of the violet coloured (x 23).

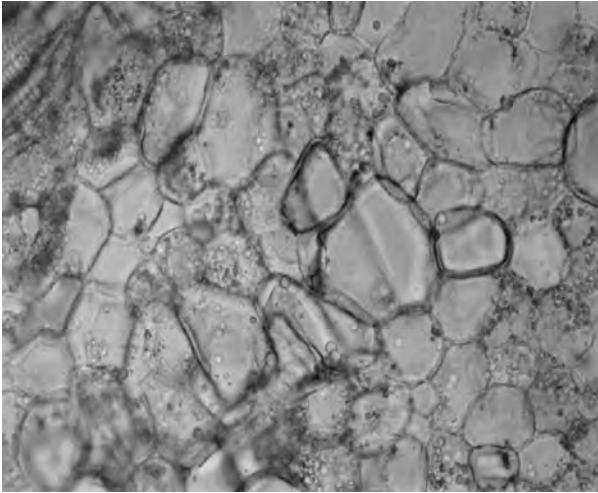


Fig. 10  
 Cellule secretici contenenti olio essenziale, condensatosi per l'azione del calore (x 43).  
 Secretor cellules with condensed essential oil inside (x 43).

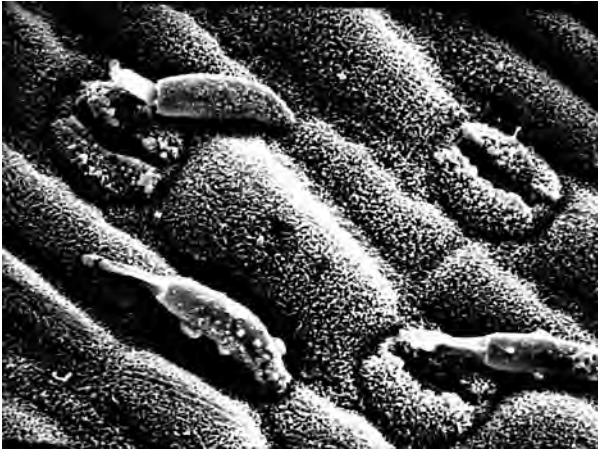


Fig. 11  
 Particolare delle distribuzioni tricomatose e stomatiche sulla pagina superiore di *Cymbopogon citratus* (DC.) Stapf.  
 Particular of the distribution of trichomes and stomata on the upper surface of *Cymbopogon citratus* (DC.) Stapf.



Fig. 12  
 Mappa cromosomica in C-metafase nel meristema radicale di una pianta di *Cymbopogon citratus* (DC.) Stapf. (x 1500).  
 Chromosome-map on C-metaphase of the root meristem of *Cymbopogon citratus* (DC.) Stapf. (x 1500).

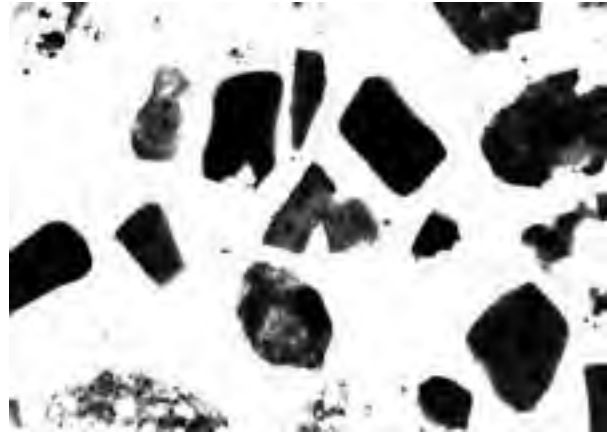


Fig. 13  
 Cellule di meristema radicale di una pianta di *Cymbopogon citratus* (DC.) Stapf. Si contano fino ad un massimo di tre nucleoli (x 1510).  
 Root meristem cellular of *Cymbopogon citratus* (DC.) Stapf. The visibles till three nucleolus (x 1510).

M.R. CAGIOTTI *et al.*, - "Caratterizzazione ecofisiologica e fitochimica di *Cymbopogon citratus* (DC.) Stapf.", in Atti "Ricerca botanica italiana negli ambienti tropicali", pag. 75.

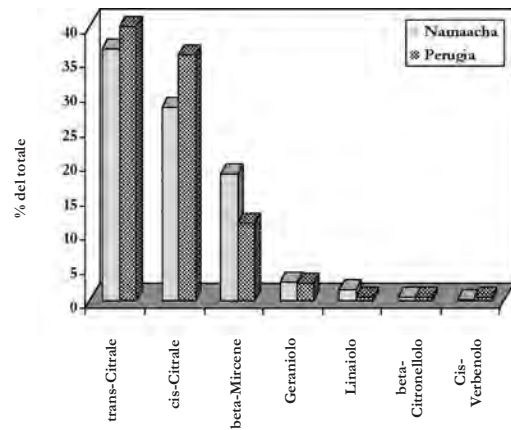


Fig. 2  
 Principali componenti dell'olio essenziale in *Cymbopogon citratus* comparati nelle due aree di sviluppo.  
 Main contents of the essential oil in *Cymbopogon citratus* in comparison on the two areas of development.

L. BRIGHIGNA *et al.*, - "Preliminari osservazioni ultrastrutturali sull'epitelio interno del tubo fiorale di *Selenicereus grandiflorus* (L.) Britton & Rose", in *Atti "Ricerca botanica italiana negli ambienti tropicali"*, pagg. 83, 84 e 85.

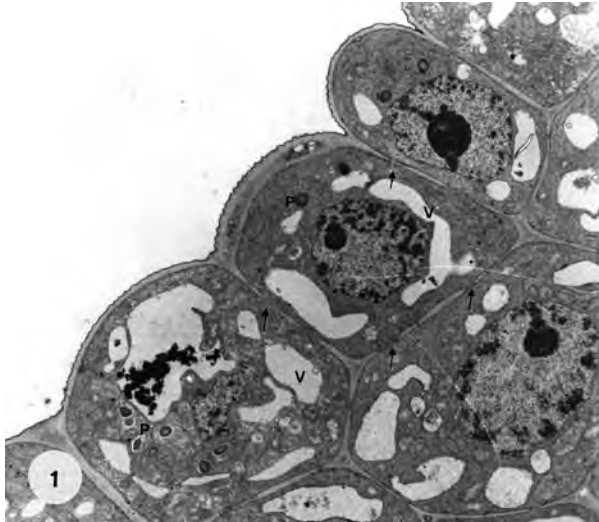


Fig. 1.  
Epitelio ipanziale nel fiore chiuso di 2 cm. Le cellule dell'epitelio hanno forma a cupola; il nucleo è vistoso; plasmodesmi sono visibili tra le cellule dell'epitelio e fra le cellule dell'epitelio e le cellule sottostanti (frecce). Il vacuoma appare frazionato. I plastidi contengono vistosi granuli di amido (x 3460).  
Hypanthial epithelium of 2 cm long flower. Epithelial cells have a convex shape. The nucleus is big; plasmodesmata (arrows) link the epithelial cells with the underlying parenchymatic cells; the vacuome is subdivided. The plastids contain big starch granules (x 3460).

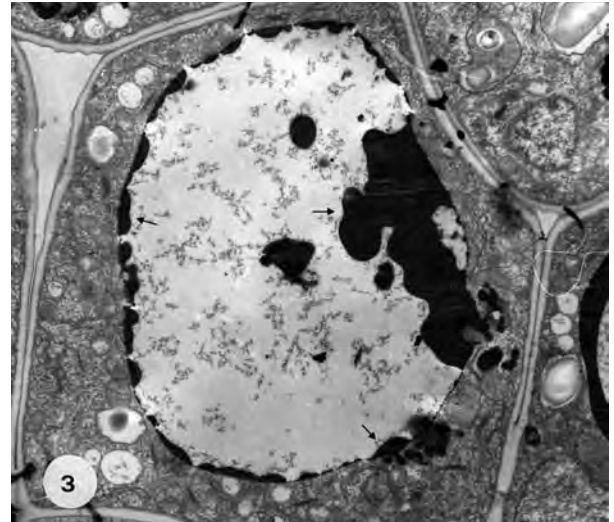


Fig. 3  
Stadio come Fig. 2. Materiale elettrondenso (frecce) si addensa alla periferia del vacuolo e forma aggregati progressivamente maggiori all'interno del vacuolo (x 4950).  
Hypanthial epithelium of 7 cm long flower. An electrondense material (arrows) is localized along the inner side of the tonoplast (x 4950).

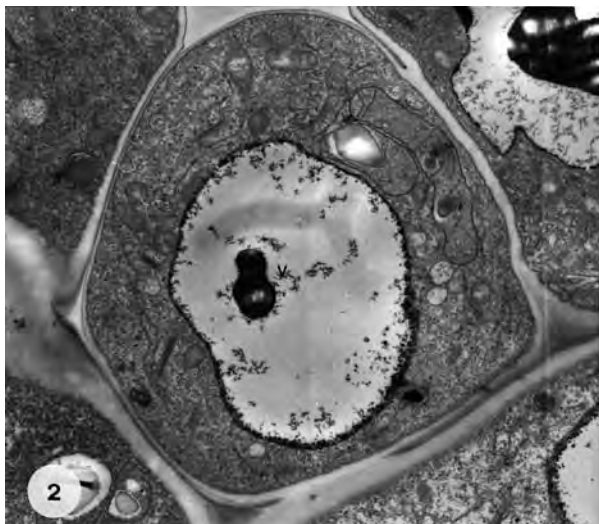


Fig. 2  
Epitelio ipanziale di fiore chiuso di 7 cm. Nelle cellule epiteliali è presente adesso un unico vacuolo (x 7500).  
Hypanthial epithelium of 7 cm long flower. The cells show one big vacuole (x 7500).

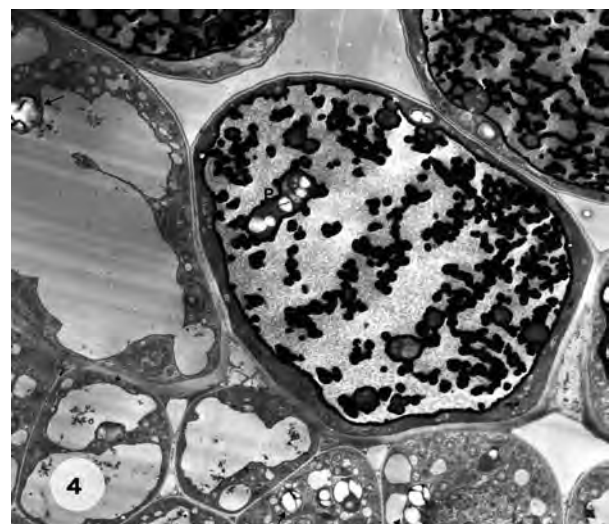


Fig. 4  
Epitelio ipanziale di fiore di circa 10 cm. Il vacuolo occupa adesso quasi la totalità della massa cellulare. Residui plastidiali sono visibili all'interno del vacuolo. Il citoplasma appare periferico e molto ridotto. Il parenchima sotto l'epitelio mostra accumuli di amido a livello dei plastidi (frecce) (x 1960).  
Hypanthial epithelium of 10 cm long flower. The central vacuole takes a larg part of the cell volume. The cytoplasm is very reduced. The underlying parenchymatic cells accumulate starch stores (arrows) (x 1960).

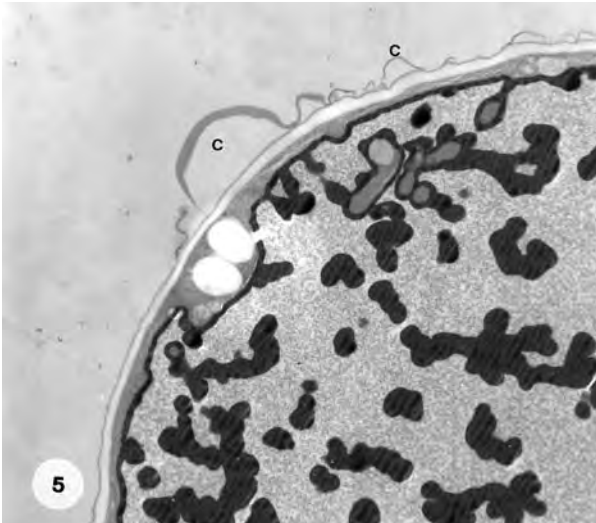


Fig. 5  
Epitelio ipanziale di fiore chiuso di 12 cm. Porzioni della cuticola dell'epitelio appaiono distaccate dalla parete verso il lume del tubo fiorale (x 5100).  
Hypanthial epithelium of 12 cm long flower before anthesis. The cuticle of the cells rises forming subcuticular spaces (x 5100).

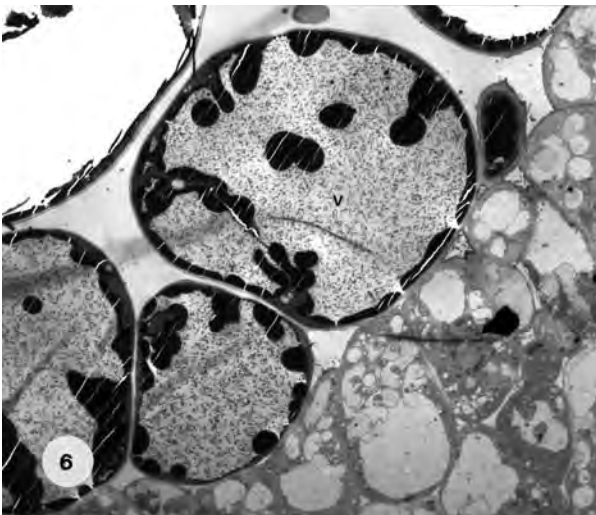


Fig. 6  
Epitelio ipanziale del fiore aperto (15 cm). Il vacuolo occupa ora tutto il lume cellulare. Nelle cellule del parenchima sono scomparse le riserve d'amido (x 1310).  
Hypanthial epithelium of 15 cm long flower. Anthesis time. The vacuole takes almost all the cellular volume. In the parenchymatic cells the starch is lost (x 1310).

E. AMORINI e G. FABBIO, - "La gestione del bosco ceduo nelle aree protette", in Atti "Gestione delle risorse agro-forestali in aree protette", pagg. 165 e 166.

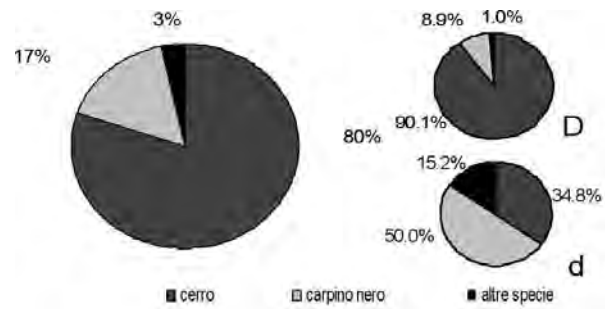


Fig. 1  
Fustaia da polloni a prevalenza di cerro di 49 anni, Alta Val Tiberina (Arezzo) dopo due diradamenti (20 e 32 anni). Presenza delle specie principali nel popolamento e nelle classi sociali dominante (D) e dominata (d).  
Percentage frequencies of main tree species in the whole population and in the dominant and dominated layers at the age of 49 after the occurrence of two thinnings at 20 and 32. (the standing crop is the same shown in Tab. 1).

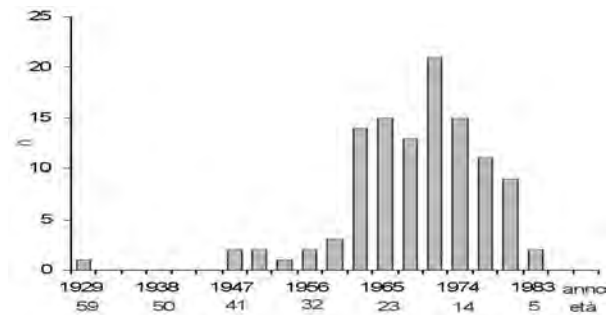


Fig. 2  
Apparato radicale estratto in una fustaia da polloni di faggio di 42 anni. Le radici principali secondo le classi di età. (1947=anno ultima ceduzazione; 1972=taglio di avviamento; 1982= anno del secondo diradamento).  
Age structure of a root system digged in a beech transitory crop aged 42. (1947=last coppicing; 1972=starting conversion into high forest; 1982=second thinning).

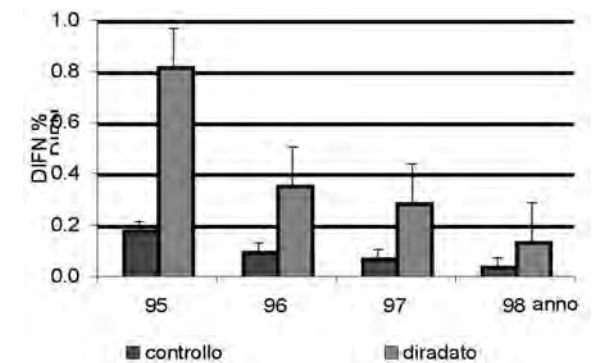


Fig. 3  
Foresta di Is Cannoneris (Cagliari), 800m s.l.m. Valori medi ( $\pm 1ES$ ) della stima di vuoti nella copertura, (DIFN) misurati con LAI-2000 in un ceduo di leccio negli anni seguenti il diradamento.  
Is Cannoneris holm oak coppice forest (Cagliari) 800 m a.s.l. Average values of canopy gaps (DIFN) measured by LAI-2000 in the years following crop thinning.



C. GARDI *et al.*, - "Il ruolo del G.I.S. nella gestione delle risorse ambientali: due esempi relativi ai parchi regionali dell'Appennino emiliano", in Atti "Gestione delle risorse agro-forestali in aree protette", pagg. 173, 174 e 175.

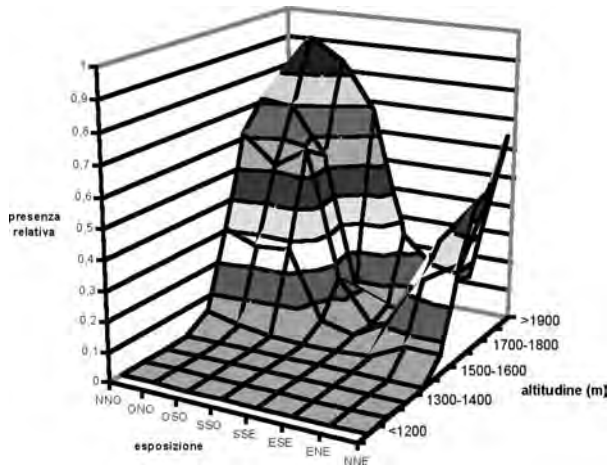


Fig. 1  
Presenza relativa dei vaccinieti in funzione dell'altimetria e dell'esposizione dei versanti.  
Correlation between distribution of *Vaccinium*-heaths and altitude and aspect.

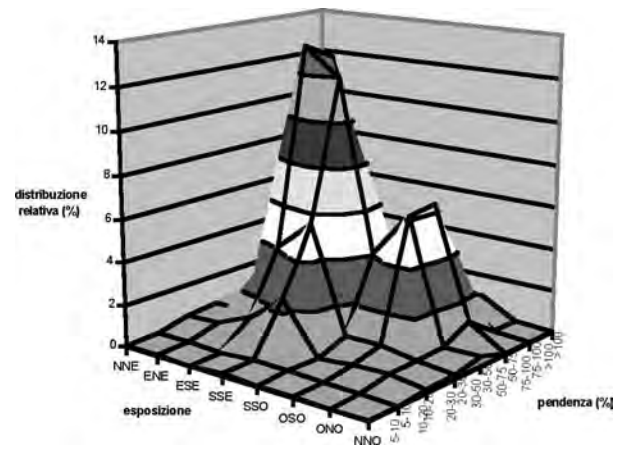


Fig. 4  
Distribuzione dei brachipodieti nelle diverse classi di esposizione e pendenza.  
Distribution of *Brachypodium genuense* grasslands within different classes of aspect and slope.

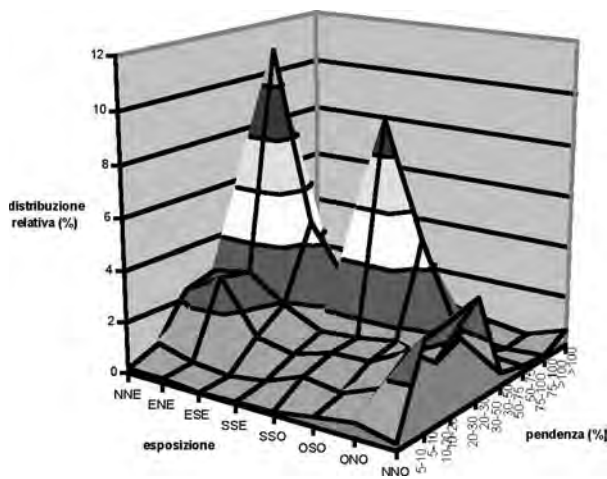


Fig. 3  
Distribuzione dei nardeti nelle diverse classi di esposizione e pendenza.  
Distribution of *Nardus stricta* grasslands within different classes of aspect and slope.

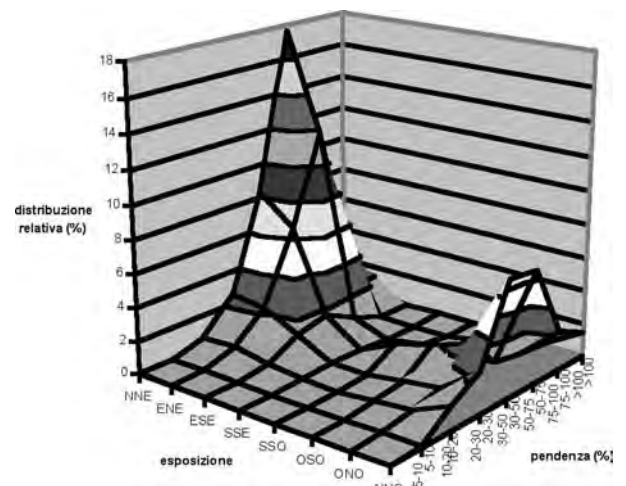


Fig. 5  
Distribuzione dei festuceti-trifoglieti nelle diverse classi di esposizione e pendenza.  
Distribution of *Trifolium thalii* and *Festuca puccinellii* grasslands within different classes of aspect and slope.

G. FORTI *et al.*, - "Didattica della biodiversità in aree protette: l'esperienza del Museo del Fiore", in *Atti "Gestione delle risorse agro-forestali in aree protette"*, pag. 195.

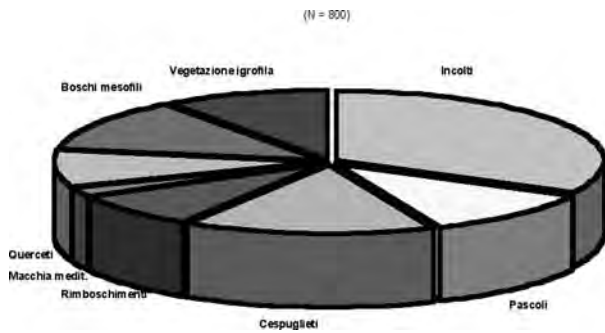
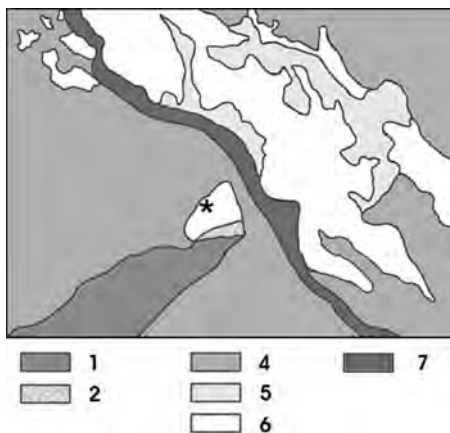


Fig. 1  
Numero delle specie di piante vascolari per ciascun ambiente della Riserva Naturale Monte Rufeno.  
Number of vascular plant species for each environment of Riserva Naturale Monte Rufeno.

F. TAFFETANI e E. RICCI, - "Dinamismo vegetazionale ed ecologia di *Juniperus communis* L. nell'area protetta del Bosco di Tecchie (Appennino centrale)", in *Atti "Gestione delle risorse agro-forestali in aree protette"*, pag. 235.



LEGENDA:  
 1 - Bosco di faggio (*Dactylorhizo fuscii-Fagetum*)  
 2 - Prato-pascolo a covetta dei prati (*Achilleo collinae-Cynosuretum*)  
 3 - Brughiera a calluna (*Danthonio-Callunetum*)  
 4 - Bosco di cerro (*Aceri obtusati-Quercetum cerris pyretosum*)  
 5 - Mantello a ginepro comune (*Junipero-Pyracanthetum coccineae*)  
 6 - Prateria mesoxerofila (*Centaureo bracteatae-Brometum erecti*)  
 7 - Bosco igrofilo (*Geranio nodosi-Carpinetum betuli arisaretosum*)  
 \* - Ubicazione del quadrato permanente

LEGEND:  
 1 - Beechwood (*Dactylorhizo fuscii-Fagetum*)  
 2 - *Cynosurus cristatus* cut-grasslands (*Achilleo collinae-Cynosuretum*)  
 3 - Calluna heaths (*Danthonio-Callunetum*)  
 4 - Turkey oak wood (*Aceri obtusati-Quercetum cerris pyretosum*)  
 5 - *Juniperus communis* mantle (*Junipero-Pyracanthetum coccineae*)  
 6 - Meso-xerophilous grass (*Centaureo bracteatae-Brometum erecti*)  
 7 - Hygrophilous wood (*Geranio nodosi-Carpinetum betuli arisaretosum*)  
 \* - Location of the permanent plot

Fig. 1  
Carta della vegetazione dell'area circostante al quadrato permanente del Bosco di Tecchie.  
Vegetation map of the area around the permanent plot of Tecchie Wood.

O. PORFIRI *et al.*, - "Caratterizzazione di popolazioni italiane di frumenti vestiti (*Triticum dicoccum* Schubler e *T. spelta* L.)", in *Atti "Gestione delle risorse agro-forestali in aree protette"*, pag. 275.

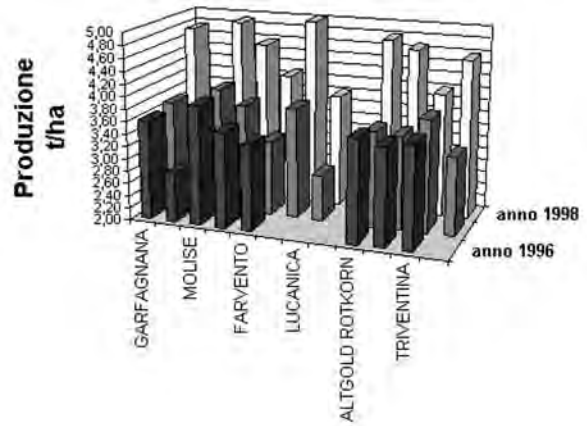


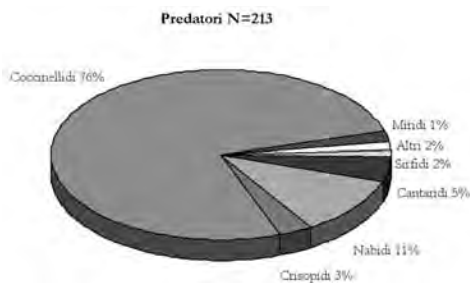
Fig. 1  
Produzione vestita media (t/ha) dei genotipi di farro valutati nelle prove comparative nel triennio 96-98.  
Gross yield (t/ha) of hulled wheat genotypes evaluated in comparative trials in 1996-1998 period.

G. CELLI *et al.*, - "Studio dell'entomofauna utile presente in aziende agricole del Parco del Delta del Po: dinamica delle popolazioni e interazioni con le aree coltivate", in *Atti "Gestione delle risorse agro-forestali in aree protette"*, pag. 280.

TABELLA 2  
Presenza dei principali predatori di afidi nelle aziende del Parco del Delta del Po.  
Presence of insect predators of aphids in the farms of the Po river Delta Park.

	Aprile	Maggio	Giugno	Luglio	Agosto	Sett.
<b>Siepe</b>						
Erbacee	■	■	■	■	■	■
Pioppo		■	■	■	■	■
Salice	■	■		■	■	■
Tamerice	■			■	■	■
Gelso				■	■	■
<b>Colture</b>						
Orzo		■	■			
Cocomero		■	■			
Patata		■	■			
Pomodoro			■	■		
Zucchino				■	■	
Zucca				■	■	
Mais				■	■	

TABELLA 3  
Predatori raccolti nelle 3 aziende con retino da sfalcio.  
Insect predator species collected with sweeping in the three farms.



L. CILENTI, - "La flora algale bentonica: esperienza di valenza didattica", in *Didattica, Scuola e Università*, pag. 293.

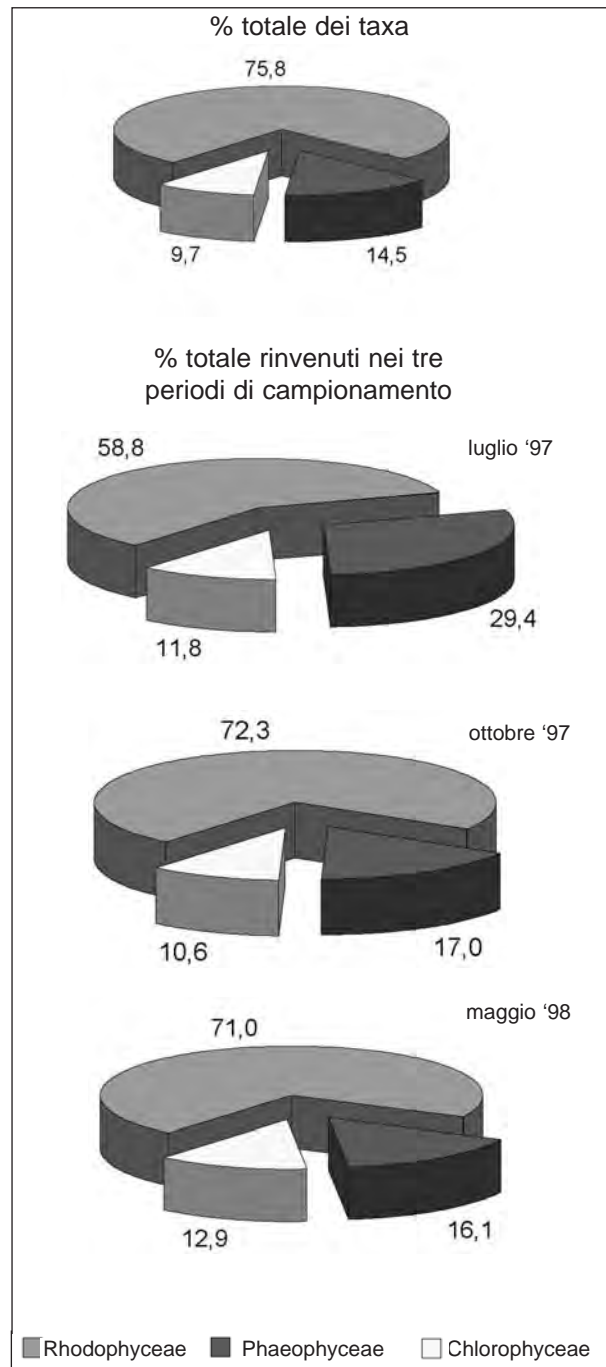


Fig. 3  
Percentuale totale dei taxa e percentuale dei taxa rinvenuti nei tre periodi di campionamento.  
Total percentage of taxa and percentage of taxa surveyed in the sampling period.

L. GRATANI, - "Nuovi percorsi didattici: il bosco come laboratorio ecologico", in *Didattica, Scuola e Università*, pagg. 302, 303 e 304.

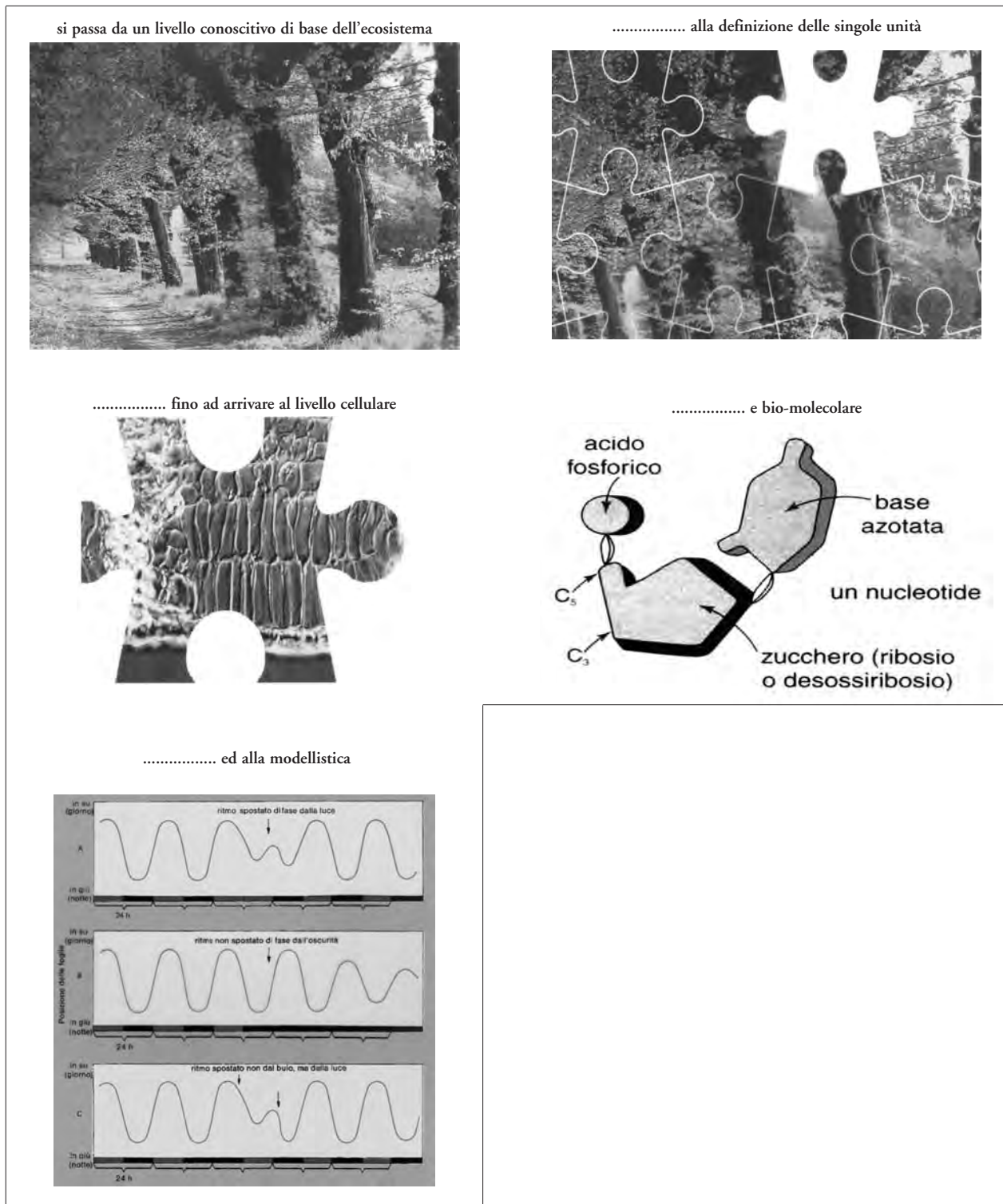


Fig. 1  
 Analisi dell'ecosistema: dalle strutture ai modelli.  
 Ecosystem analysis: from structure to models.

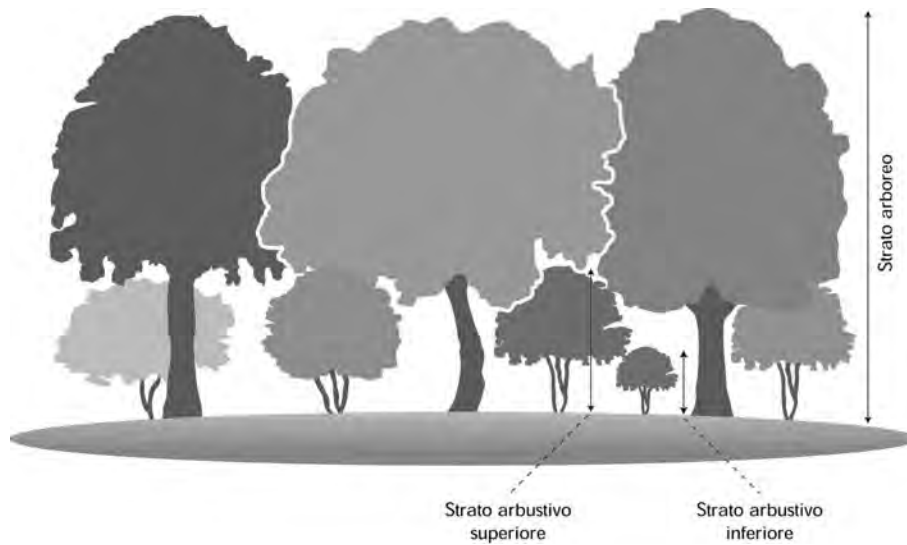


Fig. 2  
 Analisi dell'ecosistema forestale: studio della struttura mediante la misura della densità della popolazione, il tipo di stratificazione, l'altezza ed il diametro degli individui, il volume della chioma.  
 Forest analysis: study of structure, density, type of stratification, height, diameter and crown volume.

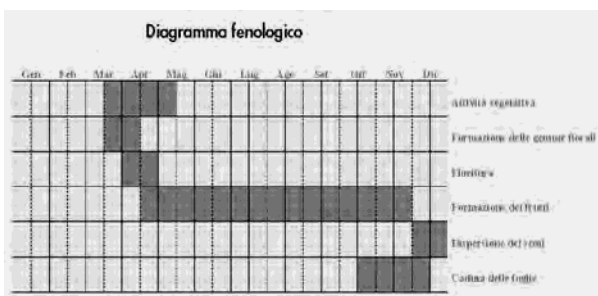


Fig. 4  
 Per definire il ritmo fenologico sono state rilevate le seguenti fasi: attività vegetativa, fioritura, fruttificazione, caduta delle foglie.  
 Phenological rithm by the following phases: vegetative activity, flowering, fruiting, leaf fall.

G. ALIOTTA e G. TRIPODI, - "Ricordo di Kurt Beth (1912 - 1999)", in *Biografie*, pag. 317.



Il professor Kurt Beth